

地球物理反问题的逆时偏移算法

答辩人：方少峰

指导教师：陈志明

中国科学院 计算数学与科学工程研究所

2018年5月17号

目录

- ① 研究动机
- ② 半空间无相位数据障碍物成像问题
- ③ Pekeris开波导障碍物成像问题
- ④ 总结与展望

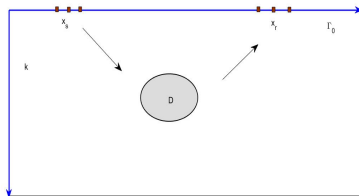
目录

- 1 研究动机
- 2 半空间无相位数据障碍物成像问题
- 3 Pekeris开波导障碍物成像问题
- 4 总结与展望

半空间逆散射问题

$$\begin{cases} \Delta u + k^2 n(x)u = -\delta_{x_s}(x), & \text{in } \mathbb{R}_+^2 \\ \frac{\partial u}{\partial x_2} = 0, & \text{on } \Gamma_0 \\ \sqrt{r} \left(\frac{\partial u}{\partial r} - iku \right) \rightarrow 0, & \text{as } r \rightarrow \infty, \quad r = |x| \end{cases}$$

其中 $n(x) - 1$ 为支集在障碍物 D 上的有界函数。



散射问题:

令 $u^i(x, x_s) = N_k(x, x_s)$ 为入射场, 其中 $N(x, y) = \Phi_k(x, y) + \Phi_k(x, y')$ 为半空间 Neumann 格林函数, 然后求解散射场 $u^s(x, x_s) = u(x, x_s) - u^i(x, x_s)$ 。

逆散射问题:

- ① 通过在 Γ_0 上接受到的**散射数据**, 构建算法来确定障碍物 D 的位置、大小和形状。
- ② 通过在 Γ_0 上接受到的**无相位数据**, 构建算法来确定障碍物 D 的位置、大小和形状。

常见算法分类与介绍

直接成像法

- 线性采样法(LSM), 分解法(Factorization method), 点源法(Point source method)
- MUSIC成像算法(Multiple Signal Classification)
- 叠前深度偏移(Prestack depth migration), 逆时偏移算法

特点

可以直接成像, 计算速度快, 但较难给出定量的介质参数信息, 且严格的数学理论并不完善

迭代法

- 微分相似优化算法(Differential semblance optimization)
- 全波形反演(Full waveform inversion)
- 逐步线性化算法(Recursive linearization algorithm)

特点

可以得到定量信息,但是需要先验信息,计算耗时,收敛性分析困难

逆时偏移算法(Reverse Time Migration)

基于波动方程反传播和时逆的想法，能够对复杂地质构造进行有效成像，被广泛应用，但是之前的理论分析需要**高频渐进假设**或者**几何光学近似**。

逆时偏移算法：数学理论框架

全空间声波、电磁波及弹性波：

- ① Chen J, Chen Z, Huang G. *Reverse time migration for extended obstacles: acoustic waves* [J]. Inverse Problems, 2013, 29(8):645-648
- ② Chen J, Chen Z, Huang G. *Reverse time migration for extended obstacles: Electromagnetic waves*[J]. Scientia Sinica, 2015, 29(8):085005.
- ③ Chen Z, Huang G. *Reverse time migration for extended obstacles: Elastic waves (in Chinese)*[J]. Science China Mathematics, 2015, 45(8):1103-1114.

平板声波闭波导：

- ① Chen Z M, Huang G H. *Reverse time migration for reconstructing extended obstacles in planar acoustic waveguides*[J]. Science China Mathematics, 2015, 58(9):1811-1834.

声波半空间：

- ① Chen Z, Huang G. *Reverse time migration for reconstructing extended obstacles in the half space*[J]. Inverse Problems, 2015, 31(5):055007 (19pp).

扩展：无相位成像算法

- ① Chen Z, Huang G. *Phaseless Imaging by Reverse Time Migration: Acoustic Waves*[J]. Numerical Mathematics Theory Methods and Applications, 2017, 10(1):1-21.

逆时偏移算法：基本思想

算法 (半空间逆时偏移算法)

设 $u^s(x_r, x_s)$ 为在接受点 $x_r \in \Gamma_0^d$ 上所接受到的由点源 $x_s \in \Gamma_0^d$ 所激发的散射场。其中 $\Gamma_0^d := \{(x_1, x_2) \in \mathbb{R}^2; x_1 \in (-d, d), x_2 = 0\}$, $s = 1, 2, \dots, N_s$, $r = 1, 2, \dots, N_r$ 。然后算法具体实现分为如下两步：

- 1 反传播：对 $s = 1, 2, \dots, N_s$ ，计算反传播场

$$v_b(z, x_s) = \frac{|\Gamma_0^d|}{N_r} \sum_{r=1}^{N_r} \frac{\partial \Phi_k(x_r, z)}{\partial x_2(x_r)} \overline{u^s(x_r, x_s)}, \quad \forall z \in \Omega.$$

- 2 互相关：对 $z \in \Omega$ ，计算成像函数

$$I_d(z) = \text{Im} \left\{ \frac{|\Gamma_0^d|}{N_s} \sum_{s=1}^{N_s} \frac{\partial \Phi_k(x_s, z)}{\partial x_2(x_s)} v_b(z, x_s) \right\}.$$

将反传波场 $v_b(z, x_s)$ 代入到成像函数 $I_d(z)$ ，可得

$$I_d(z) = \text{Im} \left\{ \frac{|\Gamma_0^d| |\Gamma_0^d|}{N_s N_r} \sum_{s=1}^{N_s} \sum_{r=1}^{N_r} \frac{\partial \Phi_k(x_s, z)}{\partial x_2(x_s)} \frac{\partial \Phi_k(x_r, z)}{\partial x_2(x_r)} \overline{u^s(x_r, x_s)} \right\}, \quad \forall z \in \Omega.$$

逆时偏移算法：成像函数

成像函数

若令 $N_s, N_r \rightarrow \infty$, 则上式可看做对如下积分的近似。

$$I_{\text{RTM}}(z) = \text{Im} \int_{\Gamma_0^d} \int_{\Gamma_0^d} \frac{\partial \Phi_k(x_s, z)}{\partial x_2(x_s)} \frac{\partial \Phi_k(x_r, z)}{\partial x_2(x_r)} \overline{u^s(x_r, x_s)} ds(x_r) ds(x_s), \quad \forall z \in \Omega.$$

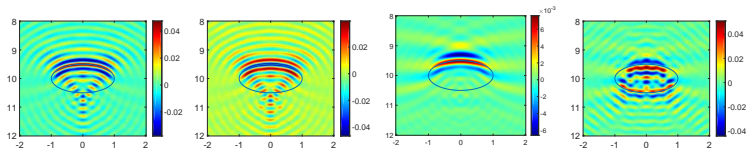
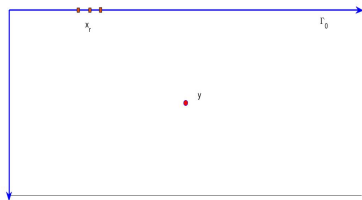


Figure: 半空间逆时偏移算法测试：椭圆型障碍物，从左到右依次为声软障碍物、声硬障碍物、阻抗边界障碍物以及可穿透障碍物，波数 $k = 4\pi$ ，以及 $N_r = N_s = 512$ 。

逆时偏移算法：点扩散函数

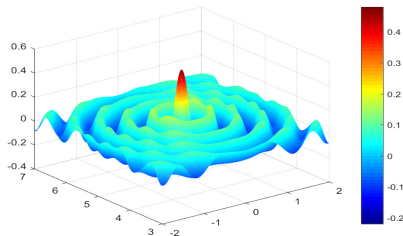


点源问题

设源点 $y \in \mathbb{R}_+^2$, 然后令 $x_r, r = 1, 2, \dots, N_r$ 为均匀分布在 Γ_0^d 上的 N_r 个接收点, 如何通过 Γ_0^d 上接收到的由点 y 激发而在点 x_r 处接收到的数据:

$$\{N_k(x_r, y); r = 1, 2, \dots, N_r\},$$

来确定源点 y 的具体位置?



有限孔穴点扩散函数:

$$J_d(z, y) := \int_{\Gamma_0^d} \frac{\partial G_k(x_r, z)}{\partial x_2} \overline{N_k(x_r, y)} ds(x_r)$$

其中

$$G_k(x, y) := \Phi_k(x, y) - \Phi_k(x, y'),$$

$$N_k(x, y) := \Phi_k(x, y) + \Phi_k(x, y')$$

左图为: $-\text{Im } J_d(z, y)$, 其中 $d = 50, k = 4\pi, y = (0, 5), z \in [-2, 2] \times [3, 7]$

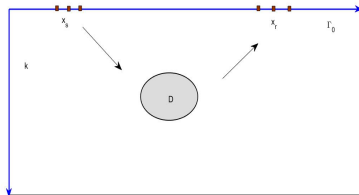
目录

- 1 研究动机
- 2 半空间无相位数据障碍物成像问题
- 3 Pekeris开波导障碍物成像问题
- 4 总结与展望

半空间逆散射问题

$$\begin{cases} \Delta u + k^2 n(x)u = -\delta_{x_s}(x), & \text{in } \mathbb{R}_+^2 \\ \frac{\partial u}{\partial x_2} = 0, & \text{on } \Gamma_0 \\ \sqrt{r} \left(\frac{\partial u}{\partial r} - iku \right) \rightarrow 0, & \text{as } r \rightarrow \infty, \quad r = |x| \end{cases}$$

其中 $n(x) - 1$ 为支集在障碍物 D 上的有界函数。



散射问题:

令 $u^i(x, x_s) = N_k(x, x_s)$ 为入射场, 其中 $N_k(x, y) = \Phi_k(x, y) + \Phi_k(x, y')$ 为半空间 Neumann 格林函数, 然后求解散射场 $u^s(x, x_s) = u(x, x_s) - u^i(x, x_s)$ 。

逆散射问题:

- ① 通过在 Γ_0 上接受到的 **散射数据**, 构建算法来确定障碍物 D 的位置、大小和形状。
- ② 通过在 Γ_0 上接受到的 **无相位数据**, 构建算法来确定障碍物 D 的位置、大小和形状。

求解算法

算法 (半空间无相位逆时偏移算法)

设 $|u(x_r, x_s)| = |u^s(x_r, x_s) + u^i(x_r, x_s)|$ 为我们在接收点 $x_r \in \Gamma_0^d$ 出采集的无相位总场数据, 其源点为 $x_s \in \Gamma_0^d$, 并令 Ω 为采样区域。

- ① 反传播: 对于 $s = 1, \dots, N_s$, 计算反传播场

$$v_b(z, x_s) = \frac{|\Gamma_0^d|}{N_r} \sum_{r=1}^{N_r} \frac{\partial \Phi_k(x_r, z)}{\partial x_2(x_r)} \Delta(x_r, x_s), \quad \forall z \in \Omega.$$

其中

$$\Delta(x_r, x_s) = \frac{|u(x_r, x_s)|^2 - |u^i(x_r, x_s)|^2}{u^i(x_r, x_s)}.$$

- ② 互相关: 对于 $z \in \Omega$, 计算成像函数

$$I_d(z) = \text{Im} \left\{ \frac{|\Gamma_0^d|}{N_s} \sum_{s=1}^{N_s} \frac{\partial \Phi_k(x_s, z)}{\partial x_2(x_s)} v_b(z, x_s) \right\}.$$

将反传波场 $v_b(z, x_s)$ 代入到成像函数 $I_d(z)$, 可得

$$I_d(z) = \text{Im} \left\{ \frac{|\Gamma_0^d|^2}{N_s N_r} \sum_{s=1}^{N_s} \sum_{r=1}^{N_r} \frac{\partial \Phi_k(x_s, z)}{\partial x_2(x_s)} \frac{\partial \Phi_k(x_r, z)}{\partial x_2(x_r)} \Delta(x_r, x_s) \right\}, \quad \forall z \in \Omega.$$

算法比较

若令 $N_s, N_r \rightarrow \infty$, 则上式可看做对如下积分的近似。

$$I_{\text{RTM}}^{\text{Phaseless}}(z) = \text{Im} \int_{\Gamma_0^d} \int_{\Gamma_0^d} \frac{\partial \Phi_k(x_s, z)}{\partial x_2(x_s)} \frac{\partial \Phi_k(x_r, z)}{\partial x_2(x_r)} \Delta(x_r, x_s) ds(x_r) ds(x_s), \quad \forall z \in \Omega.$$

观察到

$$\Delta(x_r, x_s) = \overline{u^s(x_r, x_s)} + \frac{|u^s(x_r, x_s)|^2}{u^i(x_r, x_s)} + \frac{u^s(x_r, x_s) \overline{u^i(x_r, x_s)}}{u^i(x_r, x_s)}.$$

据此可得

$$\begin{aligned} I_{\text{RTM}}^{\text{Phaseless}}(z) &= \text{Im} \int_{\Gamma_0^d} \int_{\Gamma_0^d} \frac{\partial \Phi_k(x_s, z)}{\partial x_2(x_s)} \frac{\partial \Phi_k(x_r, z)}{\partial x_2(x_r)} \overline{u^s(x_r, x_s)} ds(x_r) ds(x_s) \\ &\quad + \text{Im} \int_{\Gamma_0^d} \int_{\Gamma_0^d} \frac{\partial \Phi_k(x_s, z)}{\partial x_2(x_s)} \frac{\partial \Phi_k(x_r, z)}{\partial x_2(x_r)} \frac{|u^s(x_r, x_s)|^2}{u^i(x_r, x_s)} ds(x_r) ds(x_s) \\ &\quad + \text{Im} \int_{\Gamma_0^d} \int_{\Gamma_0^d} \frac{\partial \Phi_k(x_s, z)}{\partial x_2(x_s)} \frac{\partial \Phi_k(x_r, z)}{\partial x_2(x_r)} \frac{u^s(x_r, x_s) \overline{u^i(x_r, x_s)}}{u^i(x_r, x_s)} ds(x_r) ds(x_s) \\ &:= I_{\text{RTM}}(z) + I_2(z) + I_3(z) \end{aligned}$$

数值测试：不同形状的可穿透障碍物

基本参数设置

设 $D \subset \Omega$, 其中 $\Omega = [-2, 2] \times [8, 10]$ 为采样区域; $h = 10$, 其中 $h = \text{dist}(\Omega, \Gamma_0)$; $d = 50$ 为孔穴半径; $x_s, s = 1, 2, \dots, N_s$ 和 $x_r, r = 1, 2, \dots, N_r$ 分别为在 $\Gamma_0^d := \{(x_1, x_2) \in \mathbb{R}^2; x_1 \in (-d, d), x_2 = 0\}$ 上均匀分布的源点和接收点。

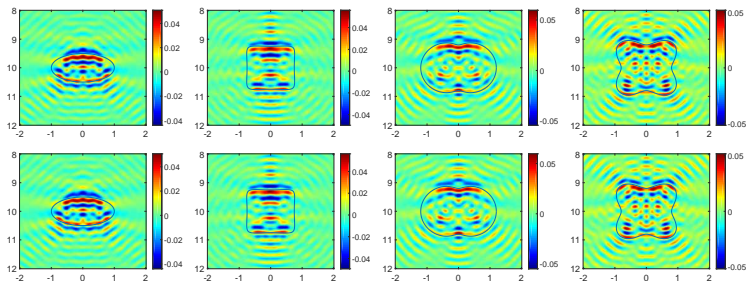


Figure: 数值算例：不同形状的可穿透障碍物，其中第一行为半空间无相位成像算法，第二行为半空间逆时偏移算法。参数为： $k = 4\pi$, and $N_s = 512, N_r = 512$ 。

数值测试：不同边界类型的障碍物

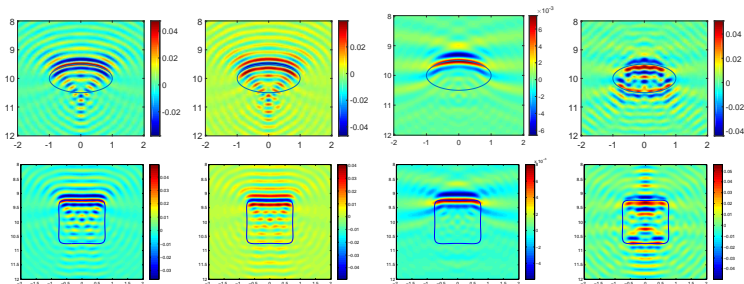


Figure: 数值算例：不同类型的椭圆型障碍物，从左到右依次为声软障碍物、声硬障碍物、阻抗边界障碍物和可穿透障碍物，第一、行分别为椭圆型和方形障碍物。参数为： $k = 4\pi$, and $N_s = 512$, $N_r = 512$ 。

数值算例：抗噪性和多频测试

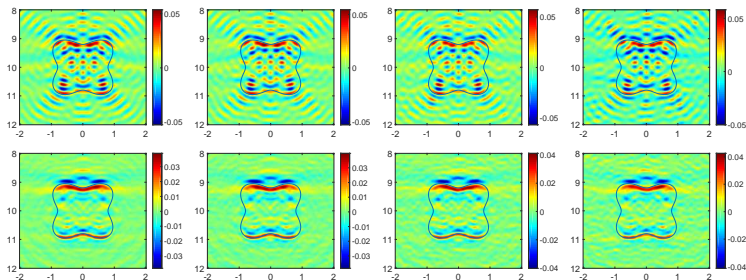


Figure: 数值测试：带噪音数据的可穿透障碍物成像，噪音水平从左到右依次为： $\mu = 0.1, 0.2, 0.3, 0.4$ 。第一行是单频测试结果，第二行为多频叠加结果。

注 (带有高斯噪音的接收数据)

$$|u|_{noise} = |u| + v_{noise}, \text{ 其中 } v_{noise} = \mu \max |u| \epsilon, \epsilon \sim N(0, 1).$$

数值算例：多个障碍物

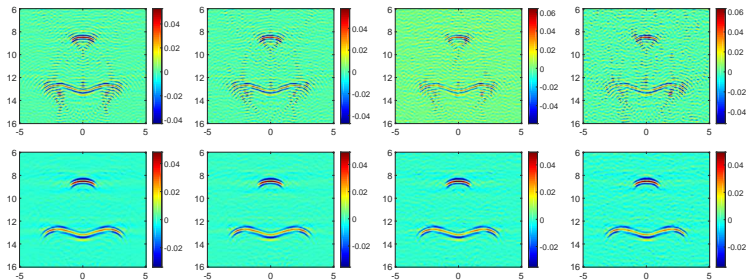


Figure: 数值算例：带噪音数据的两个声软障碍物成像，噪音水平从左到右依次为： $\mu = 0.1, 0.2, 0.3, 0.4$ 。第一行是单频测试结果，第二行为多频叠加结果。

分辨率分析证明思路

目标：建立成像函数 $I_{\text{RTM}}^{\text{Phaseless}}(z)$ 的分辨率分析

$$I_{\text{RTM}}^{\text{Phaseless}}(z) = I_{\text{RTM}}(z) + I_2(z) + I_3(z)$$

注 (半空间RTM成像函数 I_{RTM} 的分辨率分析)

对任意的 $z \in \Omega$, 令 $\psi(y, z)$ 为如下问题的散射解

$$\Delta_y \psi(y, z) + k^2 n(y) \psi(y, z) = -k^2 (n(y) - 1) \overline{F(z, y)} \quad \text{in } \mathbb{R}^2.$$

则我们有, 对任意的 $z \in \Omega$,

$$I_{\text{RTM}}(z) = -\frac{1}{4} \text{Im} \int_D k^2 (1 - n(y)) (\psi(y, z) + \overline{F(z, y)}) \overline{F(z, y)} dy + W_{\hat{f}}(z),$$

其中 $|W_{\hat{f}}(z)| \leq C(1 + kd_D)^4 ((kh)^{-1/2} + h/d)$, 关于 $z \in \Omega$ 一致成立。

函数 $F(z, y) := -\frac{i}{2\pi} \int_0^\pi e^{ik(z_1 - y_1) \cos \theta + ik(z_2 - y_2) \sin \theta} d\theta$ 具有如下性质:

存在某个与 k 无关的常数 C 使得,

$$|F(z, y)| \leq C[(k|z - y|)^{-1/2} + (k|z - y|)^{-1}], \quad \forall z, y \in \Omega.$$

算法分辨率分析

定理 (无相位逆时偏移算法的分辨率分析)

设 Ω^a 为采样区域, 若 $|u(x_r, x_s)| = |u^s(x_r, x_s) + u^i(x_r, x_s)|$ 为所测量的散射总场的无相位数据, 其中 $u^s(x, x_s)$ 是以 $u^i(x, x_s) = N_k(x, x_s)$ 为入射场的散射解, 则我们有

$$I_{\text{RTM}}^{\text{phaseless}}(z) = I_{\text{RTM}}(z) + R_{\text{RTM}}^{\text{phaseless}}(z), \quad \forall z \in \Omega,$$

其中

$$\left| R_{\text{RTM}}^{\text{phaseless}}(z) \right| \leq C(1 + \|\mathbb{S}\|)^2 (kh)^{-1/2}, \quad \forall z \in \Omega.$$

其中常数 $C > 0$ 可能依赖于 kd_D 和 $\|n(\cdot)\|_{L^\infty(D)}$, 但是与 k, h, d_D 无关。

^a关于采样区域 Ω 的假设: $|y_1 - z_1| \leq Ch, z_2 \leq Ch, \forall y, z \in \Omega$, 其中 $h = \text{dist}(\Omega, \Gamma_0)$

注 (\mathbb{S} 为正问题的解算子)

$$\mathbb{S} : L^2(D) \rightarrow H^1(D),$$

$$w = \mathbb{S}g$$

其中 $w \in H^1(D)$ 为对应于入射场 $g \in L^2(D)$ 的散射场, 其满足如下方程:

$$\Delta w + k^2 n(x)w = k^2(1 - n(x))g \text{ in } \mathbb{R}_+^2, \quad \frac{\partial w}{\partial x_2} = 0 \text{ on } \Gamma_0,$$

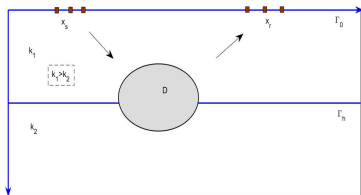
目录

- 1 研究动机
- 2 半空间无相位数据障碍物成像问题
- 3 **Pekeris开波导障碍物成像问题**
- 4 总结与展望

Pekeris开波导模型

$$\begin{cases} \Delta u + \mathbf{k}(x)^2 n(x) u = -\delta_{x_s}(x), & \text{in } \mathbb{R}_+^2 \\ [u(\cdot, x_s)]_{\Gamma_h} = \left[\frac{\partial u(\cdot, x_s)}{\partial \nu} \right]_{\Gamma_h} = 0 \\ \frac{\partial u}{\partial x_2} = 0, & \text{on } \Gamma_0 \end{cases}$$

其中 $n(x) - 1$ 为支集在障碍物 D 上的有界函数。



符号说明

背景介质波数 $k(x)$ 为

$$k(x) = \begin{cases} k_1 & , \quad x_2 \in (0, h) \\ k_2 & , \quad x_2 \in (h, +\infty) \end{cases}$$

其中 $k_1 > k_2$ ，并记 $\Gamma_0, \Gamma_h, L_1, L_2$ 分别为

- $\Gamma_0 = \{(x_1, x_2); x_1 \in \mathbb{R}, x_2 = 0\};$
- $\Gamma_h = \{(x_1, x_2); x_1 \in \mathbb{R}, x_2 = h\};$
- $L_1 = \{(x_1, x_2); x_1 \in \mathbb{R}, 0 < x_2 < h\};$
- $L_2 = \{(x_1, x_2); x_1 \in \mathbb{R}, x_2 > h\}.$

开波导逆散射问题

在 Γ_0 上接受散射数据，然后构建合适的数值重构算法，来确定障碍物 D 位置、大小和形状。

散射问题

入射场

令 $u^i(x, x_s) = N(x, x_s)$ 为入射场，其中 $N(x, y)$ 为Pekeris开波导Neumann格林函数，其满足如下方程：

$$\begin{cases} \Delta_x N(x, y) + k^2(x)N(x, y) = -\delta_y(x), & \text{in } \mathbb{R}_+^2 \\ [N(\cdot, y)]_{\Gamma_h} = 0, \quad \left[\frac{\partial N(\cdot, y)}{\partial \nu} \right]_{\Gamma_h} = 0 \\ \frac{\partial N(x, y)}{\partial x_2} = 0, & \text{on } \Gamma_0 \end{cases}$$

散射场

散射场 $u^s(x, x_s) = u(x, x_s) - u^i(x, x_s)$ 满足如下方程：

$$\begin{cases} \Delta u^s(x, x_s) + k^2(x)u^s(x, x_s) = k^2(x)[1 - n(x)]u(x, x_s), & \text{in } \mathbb{R}_+^2 \\ [u^s(\cdot, x_s)]_{\Gamma_h} = 0, \quad \left[\frac{\partial u^s(\cdot, x_s)}{\partial \nu} \right]_{\Gamma_h} = 0. \\ \frac{\partial u^s(x, x_s)}{\partial x_2} = 0, & \text{on } \Gamma_0 \end{cases}$$

开波导散射问题注意事项

- 1 开波导格林函数 $N(x, y)$ 积分表达式和波导模式展开的推导及数值计算
- 2 辐射条件的提出以及正问题的适定性
- 3 正散射问题的数值计算方法

格林函数 $N(x, y)$ 积分表达式

令 $\xi = \xi_1 + i\xi_2, \xi_1, \xi_2 \in \mathbb{R}$, 以及 $\mu_j = \sqrt{k_j^2 - \xi^2}, j = 1, 2$, 并记关于 ξ 的函数 $\hat{N}_h(\xi)$ 和 $\hat{M}_h(\xi)$ 如下所示:

$$\hat{N}_h(\xi) = \frac{\mu_1 + \mu_2}{\mu_1 - \mu_2} - e^{2i\mu_1 h}, \quad \hat{M}_h(\xi) = \frac{\mu_1 + \mu_2}{\mu_1 - \mu_2} e^{2i\mu_1 h} - 1$$

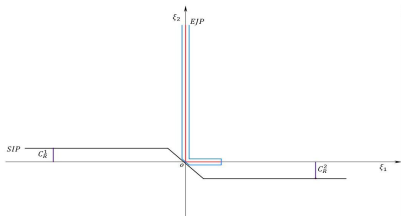
则格林函数 $N(x, y)$ 有如下表达式

$$N(x, y) = \begin{cases} \Phi_{k_1}(x, y) + \Phi_{k_1}(x, y') + \hat{S}_1(x, y) & , \quad x \in L_1, y \in L_1 \\ \hat{S}_2(x, y) & , \quad x \in L_2, y \in L_1 \\ \hat{K}_1(x, y) & , \quad x \in L_1, y \in L_2 \\ \Phi_{k_2}(x, y) + \hat{K}_2(x, y) & , \quad x \in L_2, y \in L_2 \end{cases}$$

其中 $\hat{S}_j(x, y), \hat{K}_j(x, y)$ 的表达式为

$$\left\{ \begin{array}{lcl} \hat{S}_1(x, y) & = & \frac{1}{2\pi} \int_{SIP} \frac{i}{2\mu_1} \frac{e^{2i\mu_1 h} [4 \cos(\mu_1 x_2) \cos(\mu_1 y_2)]}{\hat{N}_h(\xi)} e^{i(x_1 - y_1)\xi} d\xi \\ \hat{S}_2(x, y) & = & \frac{1}{2\pi} \int_{SIP} \frac{2ie^{i\mu_1 h} \cos(\mu_1 y_2)}{(\mu_1 - \mu_2)\hat{N}_h(\xi)} e^{i\mu_2(x_2 - h) + i(x_1 - y_1)\xi} d\xi \\ \hat{K}_1(x, y) & = & \frac{1}{2\pi} \int_{SIP} \frac{2ie^{i\mu_1 h} \cos(\mu_1 x_2)}{\hat{N}_h(\xi)} e^{i\mu_2(y_2 - h) + i(x_1 - y_1)\xi} d\xi \\ \hat{K}_2(x, y) & = & \frac{1}{2\pi} \int_{SIP} \frac{i}{2\mu_2} \frac{\hat{M}_h(\xi)}{\hat{N}_h(\xi)} e^{i\mu_2(x_2 + y_2 - 2h) + i(x_1 - y_1)\xi} d\xi \end{array} \right.$$

提取波导模式



解析分支

对于任意地 $z \in \mathbb{C} \setminus \{0\}$, $z^{1/2}$ 是 \sqrt{z} 的如下解析分支: $\text{Im}(z^{1/2}) \geq 0$, 则对于 $z = z_1 + iz_2$, $z_1, z_2 \in \mathbb{R}$,

$$z^{1/2} = \text{sgn}(z_2) \sqrt{\frac{|z| + z_1}{2}} + i \sqrt{\frac{|z| - z_1}{2}}$$

当 z 位于右半实轴时, 取 $z^{1/2}$ 为 $\epsilon \rightarrow 0^+$ 时 $(z + i\epsilon)^{1/2}$ 的极限即可。

Figure: Sommerfeld积分路径(SIP)

函数 $\hat{N}_h(\xi)$ 在实轴上的零点

- ① 当 $\xi \in \{\xi \in \mathbb{R}; |\xi| \geq k_1, |\xi| < k_2\}$ 时, $\hat{N}_h(\xi) \neq 0$ 。
- ② 若 $\sin\left(\sqrt{k_1^2 - k_2^2}h\right) \neq 0$, 则当 $\xi = \pm k_2$ 时, $\hat{N}_h(\xi) \neq 0$ 。
- ③ 当 $\xi \in (k_2, k_1)$ 时, $\hat{N}_h(\xi) = 0$ 等价于: $\tan\left(\sqrt{k_1^2 - \xi^2}h\right) = \frac{\sqrt{\xi^2 - k_2^2}}{\sqrt{k_1^2 - \xi^2}}$ 。记函数 $N_h(\xi)$ 在区间 (k_2, k_1) 的零点为: $\xi_m, m = 1, 2, \dots, \tilde{M}$, 则 $\tilde{M} \leq \left\lceil \sqrt{k_1^2 - k_2^2}h/\pi \right\rceil + 1$ 。

格林函数 $N(x, y)$ 的波导模式展开

设 $\hat{\xi}_m$, $m = 1, \dots, \hat{M}$ 是 $\hat{N}_h(\xi)$ 在区间 (k_2, k_1) 上的 \hat{M} 个实根, 并记 $\hat{\mu}_{jm} = \mu_j(\hat{\xi}_m)$, $j = 1, 2$, 则 $N(x, y)$ 的波导模式展开为

$$N(x, y) = N_g(x, y) + N_{rad}(x, y)$$

其中 $N_g(x, y) = \sum_{m=1}^{\hat{M}} N_m(x, y)$, 且

$$\begin{cases} N_m(x, y) &= \frac{\hat{\mu}_{2m}}{\hat{\xi}_m(1 - i\hat{\mu}_{2m}h)} \hat{g}(x_2, \hat{\xi}_m) \hat{g}(y_2, \hat{\xi}_m) e^{i|x_1 - y_1|\hat{\xi}_m} \\ N_{rad}(x, y) &= \frac{i}{\pi} \int_{i\infty}^{k_2} \frac{\mu_2 \hat{g}(x_2, \xi) \hat{g}(y_2, \xi)}{(k_1^2 - k_2^2) \sin^2(\mu_1 h) + \mu_2^2} e^{i|x_1 - y_1|\xi} d\xi \end{cases}$$

其中 $N_m(x, y)$ 中对应于 $\hat{\xi}_m \in (k_2, k_1)$ 的函数 $\hat{g}(x_2, \hat{\xi}_m)$ 表达式如下

$$\hat{g}(x_2, \hat{\xi}_m) := \begin{cases} \cos(\hat{\mu}_{1m}x_2), & x_2 \in (0, h) \\ \cos(\hat{\mu}_{1m}h) e^{i\hat{\mu}_{2m}(x_2 - h)}, & x_2 \in (h, +\infty) \end{cases}$$

此外, $N_{rad}(x, y)$ 中有向区间 $[i\infty, k_2] := \{\xi; \xi \in [0, k_2], \text{ 或 } \xi = i\eta, \eta \in (0, +\infty)\}$, 以及对应于 $\xi \in [i\infty, k_2]$ 的函数 $\hat{g}(x_2, \xi)$ 如下所示

$$\hat{g}(x_2, \xi) := \begin{cases} \cos(\mu_1 x_2), & x_2 \in (0, h) \\ \cos(\mu_1 h) \cos[\mu_2(x_2 - h)] - \frac{\mu_1}{\mu_2} \sin(\mu_1 h) \sin[\mu_2(x_2 - h)], & x_2 \in (h, +\infty) \end{cases}$$

散射问题相关文献：开波导 VS 闭波导

开波导不存在陷阱模式(No Trapped modes in open waveguide)

- 1 Littman W. *Spectral properties of operators arising in acoustic wave propagation in an ocean of variable depth*[J]. Applied Mathematics and Optimization, 1982, 8(1):189-196.
- 2 Weder R. *Absence of Eigenvalues of the acoustic propagator in deformed wave guides*[J]. Rocky Mountain Journal of Mathematics, 1988, 18(18):495-504.
- 3 Hazard C. *On the absence of trapped modes in locally perturbed open waveguides*[J]. Ima Journal of Applied Mathematics, 2014, 80(4):1049.

$$u \in L^2 \implies u = 0 \text{ a.e.}$$

闭波导模型可能存在陷阱模式(Trapped modes may exist in close waveguide)

- 1 Linton C M, Mciver P. *Embedded trapped modes in water waves and acoustics*[J]. Wave Motion, 2007, 45(1):16-29.

散射问题相关文献：适定性

散射条件及适定性

1. Ciraolo G, Magnanini R. *A radiation condition for uniqueness in a wave propagation problem for 2D open waveguides*[J]. Mathematical Methods in the Applied Sciences, 2010, 32(10):1183-1206.
2. Ciraolo G. *A Radiation Condition for the 2-D Helmholtz Equation in Stratified Media*[J]. Communications in Partial Differential Equations, 2009, 34(12):1592-1606.
3. Dhia, B. B., Dakhia, G., Hazard, C., Chorfi, L. *Diffraction by a defect in an open waveguide: a mathematical analysis based on a modal radiation condition*. Siam Journal on Applied Mathematics, 2009, 70(3), 677-693.
4. Carlos J H, Jean-Claude N. *Asymptotics for Helmholtz and Maxwell Solutions in 3-D Open Waveguides*[J]. Communications in Computational Physics, 2012, 11(2):629-646.

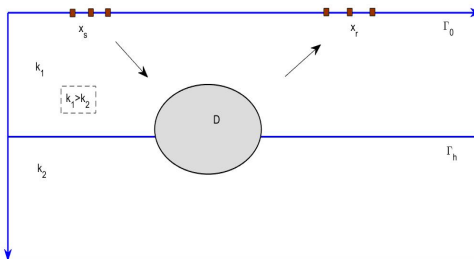
极限吸收原理

1. Ben-Artzi M, Dermenjian Y, Guillot J C. *Acoustic Waves in Perturbed Stratified Fluids: A Spectral Theory*[J]. Communications in Partial Differential Equations, 1989, 14(4):479-517.
2. Ben-Artzi M, Guillot J C, Dermenjian Y. *Analyticity properties and estimates of resolvent kernels near thresholds*[J]. Communications in Partial Differential Equations, 2000, 25(9-10):1753-1770.
3. Weder R. *Spectral and Scattering Theory for Wave Propagation in Perturbed Stratified Media*[M]. Springer New York, 1991.

Pekeris开波导逆散射问题

逆散射问题

- 在半空间边界 Γ_0 上接受散射数据，然后构建合适的数值重构算法，来确定障碍物 D 的位置、大小和形状。



开波导反问题相关工作

MUSIC算法

- 1 Ammari H, Kang H. *Reconstruction of a Small Inclusion in a Two-Dimensional Open Waveguide*[J]. Siam Journal on Applied Mathematics, 2005, 65(6):2107-2127.

反问题唯一性

- 1 Gilbert, R. P., Zhang, N., Zeev, N., Xu, Y. *Inverse problem for wave propagation in a perturbed layered half-space with a bump*. Mathematical and Computer Modelling, 2007, 45(1), 21-33.
- 2 Gang B, Faouzi T. *Reconstruction of a defect in an open waveguide*[J]. Science China Mathematics, 2013, 56(12):2539-2548.

偏移成像

- 1 Garnier J, Papanicolaou G. *Passive Sensor Imaging Using Cross Correlations of Noisy Signals in a Scattering Medium*[J]. Siam Journal on Imaging Sciences, 2009, 2(2):396-437.
- 2 Garnier J, Papanicolaou G. *Correlation-based virtual source imaging in strongly scattering random media*[J]. Inverse Problems, 2012, 28(28):75002-75039(38).
- 3 Borcea L, Gonzalez dCF, Papanicolaou G, et al. *Filtering deterministic layer effects in imaging [reprint of MR2480120]*. [J]. Siam Review, 2009, 54(4):757-798.

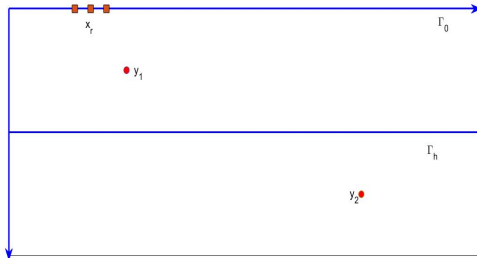
点源问题及点扩散函数

点源问题

设源点 $y \in \mathbb{R}_+^2$, 然后令 $x_r, r = 1, 2, \dots, N_r$ 为均匀分布在 Γ_0^d 上的 N_r 个接收点, 如何通过 Γ_0^d 上接收到的由点 y 激发而在点 x_r 处接收到的数据:

$$\{N(x_r, y); r = 1, 2, \dots, N_r\},$$

来确定源点 y 的具体位置?



有限孔穴点扩散函数

离散的有限孔穴点扩散函数

参考声波半空间逆时偏移算法, 上述问题可以转化为寻求一个合适的反传播函数 $G_{bp}(x, z)$ 使得:

$$\hat{J}_d(z, y) := \frac{|\Gamma_0^d|}{N_r} \sum_{r=1}^{N_r} \frac{\partial G_{bp}(x_r, z)}{\partial x_2(x_r)} \overline{N(x_r, y)}, \quad x_2(x_r) = 0$$

拥有如下性质:

- 当 $z = y$ 时, $-\text{Im } \hat{J}_d(z, y)$ 取得峰值; 当 z 远离 y 时, $-\text{Im } \hat{J}_d(z, y)$ 逐渐衰减。

当接收点的个数 $N_r \rightarrow \infty$ 时, $\hat{J}_d(z, y)$ 将趋于函数 $J_d(z, y)$:

$$J_d(z, y) := \int_{\Gamma_0^d} \frac{\partial G_{bp}(x_r, z)}{\partial x_2(x_r)} \overline{N(x_r, y)} ds(x_r)$$

反传播函数选取

(i) 直接推广：取 $G_{bp}(x, y) = G_{k_1}(x, y)$ ，其中函数 $G_{k_1}(x, y)$ 满足

$$\Delta_x G_{k_1}(x, y) + k_1^2 G_{k_1}(x, y) = -\delta_y(x), \quad \text{in } \mathbb{R}_+^2; \quad G_{k_1}(x, y) = 0, \quad \text{on } \Gamma_0$$

易知： $G_{k_1}(x, y) = \Phi_{k_1}(x, y) - \Phi_{k_1}(x, y')$ ，其中 $\Phi_{k_1}(x, y) = \frac{i}{4} H_0^{(1)}(k_1 |x - y|)$ 。

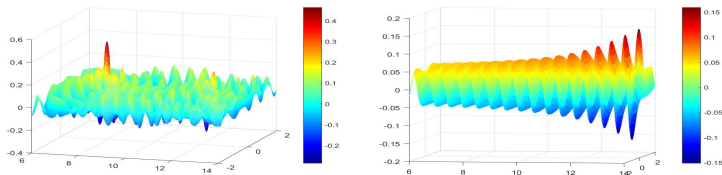


Figure: $-\text{Im } J_d(z, y)$ ，其中 $G_{bp}(x, z) = G_{k_1}(x, z)$ ，左边为源点 $y_1 \in L_1$ ，右边为源点 $y_2 \in L_2$ 。参数： $k_1 = 4\pi$, $k_2 = 2\pi$, $h = 10$, $d = 50$, $N_r = 256$, $y_1 = (0, 8)$, $y_2 = (0, 12)$ 。

另一种选取方法

(ii) 取 $G_{bp}(x, y) = G(x, y)$, 其中函数 $G(x, y)$ 满足

$$\begin{cases} \Delta_x G(x, y) + k^2(x)G(x, y) = -\delta_z(y), & \text{in } \mathbb{R}_+^2 \\ [G(\cdot, y)]_{\Gamma_h} = 0, \quad \left[\frac{\partial G(\cdot, y)}{\partial \nu} \right]_{\Gamma_h} = 0 \\ G(x, y) = 0, & \text{on } \Gamma_0 \end{cases}$$

其中背景介质波数 $k(x)$ 为

$$k(x) = \begin{cases} k_1, & x_2 \in (0, h) \\ k_2, & x_2 \in (h, +\infty) \end{cases}$$

函数 $G(x, y)$ 被称为Pekeris开波导Dirichlet格林函数。

格林函数 $G(x, y)$ 的积分表达式

令 $\xi = \xi_1 + i\xi_2$, $\xi_1, \xi_2 \in \mathbb{R}$, 以及 $\mu_j = \sqrt{k_j^2 - \xi^2}$, $j = 1, 2$, 并记关于 ξ 的函数 $N_h(\xi)$ 和 $M_h(\xi)$ 如下所示

$$N_h(\xi) = \frac{\mu_1 + \mu_2}{\mu_1 - \mu_2} + e^{2i\mu_1 h}, \quad M_h(\xi) = 1 + \frac{\mu_1 + \mu_2}{\mu_1 - \mu_2} e^{2i\mu_1 h},$$

则格林函数 $G(x, y)$ 有如下表达式

$$G(x, y) = \begin{cases} \Phi_{k_1}(x, y) - \Phi_{k_1}(x, y') + S_1(x, y) & , \quad x \in L_1, y \in L_1 \\ S_2(x, y) & , \quad x \in L_2, y \in L_1 \\ K_1(x, y) & , \quad x \in L_1, y \in L_2 \\ \Phi_{k_2}(x, y) + K_2(x, y) & , \quad x \in L_2, y \in L_2 \end{cases}$$

其中 $S_j(x, y)$, $K_j(x, y)$, $j = 1, 2$ 的表达式为

$$\left\{ \begin{array}{lcl} S_1(x, y) & = & \frac{1}{2\pi} \int_{SIP} \frac{-i}{2\mu_1} \frac{e^{2i\mu_1 h} [4 \sin(\mu_1 x_2) \sin(\mu_1 y_2)]}{N_h(\xi)} e^{i(x_1 - y_1)\xi} d\xi \\ S_2(x, y) & = & \frac{1}{2\pi} \int_{SIP} \frac{2e^{i\mu_1 h} \sin(\mu_1 y_2)}{(\mu_1 - \mu_2) N_h(\xi)} e^{i\mu_2(x_2 - h) + i(x_1 - y_1)\xi} d\xi \\ K_1(x, y) & = & \frac{1}{2\pi} \int_{SIP} \frac{2e^{i\mu_1 h} \sin(\mu_1 x_2)}{(\mu_1 - \mu_2) N_h(\xi)} e^{i\mu_2(y_2 - h) + i(x_1 - y_1)\xi} d\xi \\ K_2(x, y) & = & \frac{1}{2\pi} \int_{SIP} \frac{-i}{2\mu_2} \frac{M_h(\xi)}{N_h(\xi)} e^{i\mu_2(x_2 + y_2 - 2h) + i(x_1 - y_1)\xi} d\xi \end{array} \right.$$

格林函数 $G(x, y)$ 的波导模式展开

设 ξ_m , $m = 1, \dots, M$ 是 $N_h(\xi)$ 在区间 (k_2, k_1) 上的 M 个实根, 并记 $\mu_{jm} = \mu_j(\xi_m)$, $j = 1, 2$, 则 $G(x, y)$ 的波导模式展开为

$$G(x, y) = G_g(x, y) + G_{rad}(x, y)$$

其中 $G_g(x, y) = \sum_{m=1}^M G_m(x, y)$, 且

$$\begin{cases} G_m(x, y) &= \frac{\mu_{2m}}{\xi_m(1 - i\mu_{2m}h)} g(x_2, \xi_m) g(y_2, \xi_m) e^{i|x_1 - y_1|\xi_m} \\ G_{rad}(x, y) &= \frac{i}{\pi} \int_{i\infty}^{k_2} \frac{\mu_2 g(x_2, \xi) g(y_2, \xi)}{(k_1^2 - k_2^2) \cos^2(\mu_1 h) + \mu_2^2} e^{i|x_1 - y_1|\xi} d\xi \end{cases}$$

其中 $G_m(x, y)$ 中对应于 $\xi_m \in (k_2, k_1)$ 的 $g(x_2, \xi_m)$ 表达式如下

$$g(x_2, \xi_m) := \begin{cases} \sin(\mu_{1m} x_2), & x_2 \in (0, h) \\ \sin(\mu_{1m} h) e^{i\mu_{2m}(x_2 - h)}, & x_2 \in (h, +\infty) \end{cases}$$

此外 $G_{rad}(x, y)$ 中有向积分区间 $[i\infty, k_2] := \{\xi; \xi \in [0, k_2], \text{ 或 } \xi = i\eta, \eta \in (0, +\infty)\}$, 以及对应于 $\xi \in [i\infty, k_2]$ 的函数 $g(x_2, \xi)$ 如下

$$g(x_2, \xi) := \begin{cases} \sin(\mu_1 x_2), & x_2 \in (0, h) \\ \sin(\mu_1 h) \cos[\mu_2(x_2 - h)] + \frac{\mu_1}{\mu_2} \cos(\mu_1 h) \sin[\mu_2(x_2 - h)], & x_2 \in (h, +\infty) \end{cases}$$

回顾：格林函数 $N(x, y)$ 的波导模式展开

设 $\hat{\xi}_m$, $m = 1, \dots, \hat{M}$ 是 $\hat{N}_h(\xi)$ 在区间 (k_2, k_1) 上的 \hat{M} 个实根, 并记 $\hat{\mu}_{jm} = \mu_j(\hat{\xi}_m)$, $j = 1, 2$, 则 $N(x, y)$ 的波导模式展开为

$$N(x, y) = N_g(x, y) + N_{rad}(x, y)$$

其中 $N_g(x, y) = \sum_{m=1}^{\hat{M}} N_m(x, y)$, 且

$$\begin{cases} N_m(x, y) &= \frac{\hat{\mu}_{2m}}{\hat{\xi}_m(1 - i\hat{\mu}_{2m}h)} \hat{g}(x_2, \hat{\xi}_m) \hat{g}(y_2, \hat{\xi}_m) e^{i|x_1 - y_1|\hat{\xi}_m} \\ N_{rad}(x, y) &= \frac{i}{\pi} \int_{i\infty}^{k_2} \frac{\mu_2 \hat{g}(x_2, \xi) \hat{g}(y_2, \xi)}{(k_1^2 - k_2^2) \sin^2(\mu_1 h) + \mu_2^2} e^{i|x_1 - y_1|\xi} d\xi \end{cases}$$

其中 $N_m(x, y)$ 中对应于 $\hat{\xi}_m \in (k_2, k_1)$ 的函数 $\hat{g}(x_2, \hat{\xi}_m)$ 表达式如下

$$\hat{g}(x_2, \hat{\xi}_m) := \begin{cases} \cos(\hat{\mu}_{1m} x_2), & x_2 \in (0, h) \\ \cos(\hat{\mu}_{1m} h) e^{i\hat{\mu}_{2m}(x_2 - h)}, & x_2 \in (h, +\infty) \end{cases}$$

此外, $N_{rad}(x, y)$ 中有向区间 $[i\infty, k_2] := \{\xi; \xi \in [0, k_2], \text{ 或 } \xi = i\eta, \eta \in (0, +\infty)\}$, 以及对应于 $\xi \in [i\infty, k_2]$ 的函数 $\hat{g}(x_2, \xi)$ 如下所示

$$\hat{g}(x_2, \xi) := \begin{cases} \cos(\mu_1 x_2), & x_2 \in (0, h) \\ \cos(\mu_1 h) \cos[\mu_2(x_2 - h)] - \frac{\mu_1}{\mu_2} \sin(\mu_1 h) \sin[\mu_2(x_2 - h)], & x_2 \in (h, +\infty) \end{cases}$$

(ii) 另一种选取方法: $G_{bp}(x, y) = G(x, y)$

有限孔穴点扩散函数:

$$J_d(z, y) := \int_{\Gamma_0^d} \frac{\partial G(x_r, z)}{\partial x_2(x_r)} \overline{N(x_r, y)} ds(x_r)$$

其中函数 $G(x, z)$, $N(x, y)$ 分别为Pekeris开波导Dirichlet和Neumann格林函数。

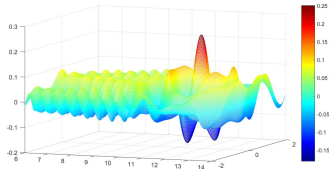
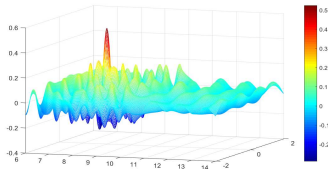


Figure: $-\text{Im } J_d(z, y)$, 其中 $G_{bp}(x, z) = G(x, z)$, 左边为源点 $y_1 \in L_1$, 右边为源点 $y_2 \in L_2$ 。参数: $k_1 = 4\pi$, $k_2 = 2\pi$, $h = 10$, $d = 50$, $N_r = 256$, $y_1 = (0, 8)$, $y_2 = (0, 12)$ 。

开波导逆时偏移算法

算法

设 Ω 为采样区域, 令 $u^s(x_r, x_s)$ 为在接收点 x_r 收到的由源点 x_s 所激发的散射数据, 其中 $x_r, x_s \in \Gamma_0^d; r = 1, \dots, N_r; s = 1, \dots, N_s$.

1° 反传播: 对 $s = 1, \dots, N_s$, 计算反传播场

$$v_b(z, x_s) = \frac{|\Gamma_0^d|}{N_r} \sum_{r=1}^{N_r} \frac{\partial G(x_r, z)}{\partial x_2(x_r)} \overline{u^s(x_r, x_s)}, \quad \forall z \in \Omega.$$

若令 $N_r \rightarrow 0$, 则上式可看做如下积分的数值近似,

$$\hat{v}_b(z, x_s) = \int_{\Gamma_0^d} \frac{\partial G(x_r, z)}{\partial x_2(x_r)} \overline{u^s(x_r, x_s)} ds(x_r)$$

2° 互相关: 对 $z \in \Omega$, 计算成像函数

$$I_d(z) = \text{Im} \left\{ \frac{|\Gamma_0^d|}{N_s} \sum_{s=1}^{N_s} \frac{\partial G(x_s, z)}{\partial x_2(x_s)} v_b(z, x_s) \right\}.$$

将 $v_b(z, x_s)$ 的表达式代入 $I_d(z)$, 可得

$$I_d(z) = \text{Im} \left\{ \frac{|\Gamma_0^d|}{N_s} \frac{|\Gamma_0^d|}{N_r} \sum_{s=1}^{N_s} \sum_{r=1}^{N_r} \frac{\partial G(x_s, z)}{\partial x_2(x_s)} \frac{\partial G(x_r, z)}{\partial x_2(x_r)} \overline{u^s(x_r, x_s)} \right\}.$$

数值测试: $D \subset L_1$, 声软障碍物

首先假设 $D \subset L_1$, 并令 $h = 10, d = 50$, 源点 x_s 和接收点 x_r 在 Γ_0^d 上均匀分布, 其个数为 $N_s = N_r = 256$, 探测频率 $k_1 = 4\pi, k_2 = 2\pi$. 除此之外, 我们将比较成像函数 $I_d(z)$ 和使用 $G_{k_1}(x, z)$ 做为反传播函数的 $I_d^{k_1}(z)$, 即

$$I_d^{k_1}(z) = \text{Im} \left\{ \frac{|\Gamma_0^d|}{N_s} \frac{|\Gamma_0^d|}{N_r} \sum_{s=1}^{N_s} \sum_{r=1}^{N_r} \frac{\partial G_{k_1}(x_s, z)}{\partial x_2(x_s)} \frac{\partial G_{k_1}(x_r, z)}{\partial x_2(x_r)} \overline{u^s(x_r, x_s)} \right\}.$$

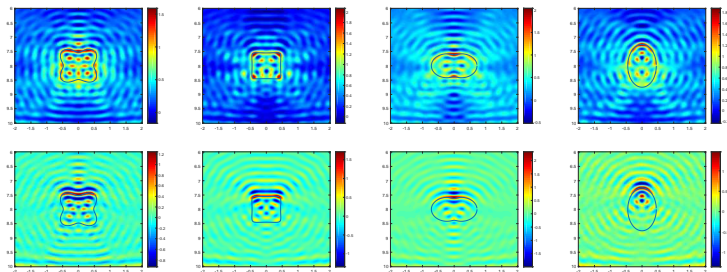


Figure: 算例：测试不同形状的声软障碍物成像效果，从左到右依次为4叶风扇、矩形、花生以及椭圆形状，其中第一、二行分别为所提算法成像函数 $I_d(z)$ 和成像函数 $I_d^{k_1}(z)$ 的成像效果。

数值测试： $D \subset L_1$ ，不同类型和边界障碍物

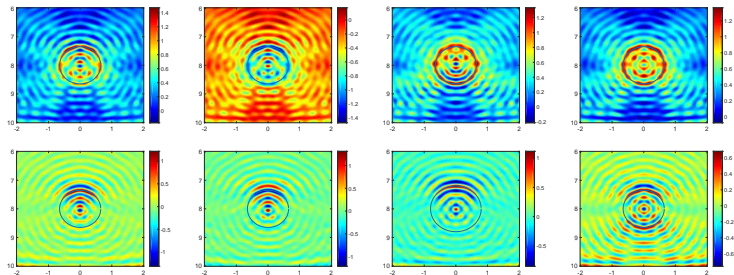


Figure: 测试不同类型不同边界的障碍物：前面三个从左到右依次为声软障碍物、声硬障碍物、阻尼系数为 $\eta(x)$ 的阻抗边界障碍物，最后一个为折射系数为 $n(x)$ 的可穿透障碍物，其中第一行为所提算法成像函数 $I_d(z)$ 的成像效果，第二行为反传播函数是函数 $G_{k_1}(x, z)$ 时所对应成像函数 $I_d^{k_1}(z)$ 的成像效果。

数值测试： $D \subset L_1$ ，可穿透障碍物，抗噪性及多频测试

带有高斯噪音的接收数据

$$u_{noise}^s(x_r, x_s) = u^s(x_r, x_s) + v_{noise}, \text{ 其中 } v_{noise} = \mu \max |u^s| \epsilon, \epsilon \sim N(0, 1).$$

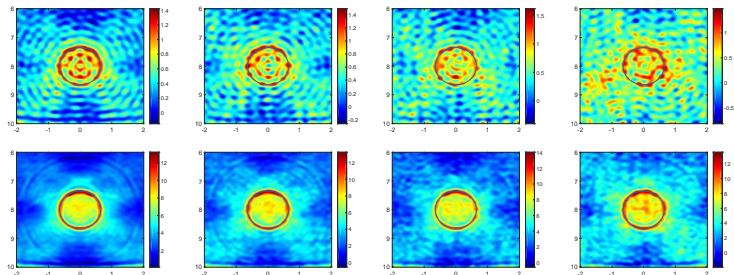


Figure: 测试算法成像函数 $I_d(z)$ 的抗噪性能：目标障碍物为圆形的可穿透障碍物，噪音水平 μ 从左到右按如下水平依次递增：0.1, 0.2, 0.4, 0.6。其中第一行为单频测试结果，测试频率为： $k_1 = 4\pi, k_2 = 2\pi$ ；第二行为多频测试结果，测试频率为： $k_2 = \frac{1}{2}k_1, k_1 = 2\pi + 0.4n\pi, n = 0, 1, \dots, 9$ 。

数值测试: $D \subset L_2$, 声软障碍物

首先假设 $D \subset L_2$, 并令 $h = 10, d = 50$, 源点 x_s 和接收点 x_r 在 Γ_0^d 上均匀分布, 其个数为 $N_s = N_r = 256$, 探测频率 $k_1 = 8\pi, k_2 = 4\pi$. 除此之外, 我们将比较成像函数 $I_d(z)$ 和使用 $G_{k_1}(x, z)$ 做为反传播函数的 $I_d^{k_1}(z)$.

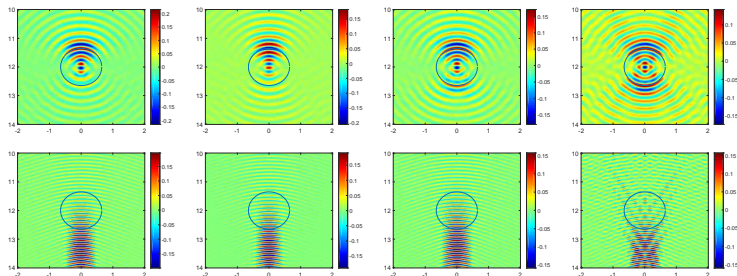


Figure: 测试位于Pekeris开波导第二层 L_2 的不同类型障碍物: 前面三个从左到右依次为声软障碍物、声硬障碍物、阻尼系数为 $\eta(x)$ 的阻抗边界障碍物, 最后一个为折射系数为 $n(x)$ 的可穿透障碍物, 其中第一行为所提算法成像函数 $I_d(z)$ 的成像效果, 第二行为反传播函数是函数 $G_{k_1}(x, z)$ 时所对应成像函数 $I_d^{k_1}(z)$ 的成像效果。

数值测试: $D \subset L_2$, 不同形状障碍物

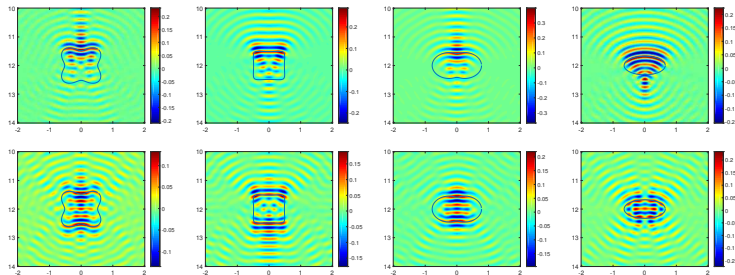


Figure: 测试对于Pekeris开波导第二层 L_2 的不同类型不同形状的障碍物: 从左到右依次为4叶风扇、矩形、花生以及椭圆形状, 其中第一行为声软障碍物, 第二行为可穿透障碍物。

数值测试： $D \subset L_2$ ，抗噪性和多频测试

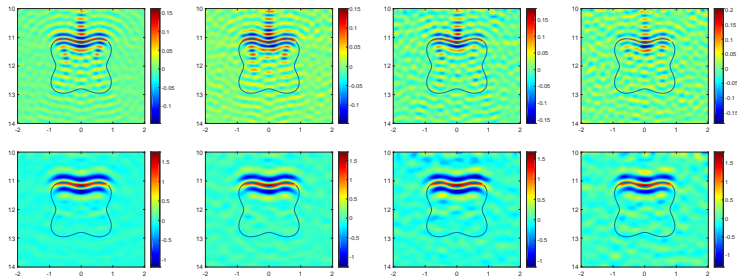


Figure: 测试算法成像函数 $I_d(z)$ 的抗噪音性能：目标障碍物为位于开波导第二层 L_2 的4-叶风扇形状的声软障碍物，噪音水平 μ 从左到右按如下数值依次递增：0.1, 0.2, 0.4, 0.6。其中第一行为单频测试结果，测试频率为： $k_1 = 8\pi, k_2 = 4\pi$ ；第二行为多频测试结果，测试频率为： $k_2 = \frac{1}{2}k_1, k_2 = 4\pi + 0.4n\pi, n = 0, 1, \dots, 6$ 。

算法分析与思考

有限孔穴点扩散函数

$$J_d(z, y) := \int_{\Gamma_0^d} \frac{\partial G(x_r, z)}{\partial x_2(x_r)} \overline{N(x_r, y)} ds(x_r)$$

其中函数 $G(x, z)$, $N(x, y)$ 分别为Pekeris开波导Dirichlet和Neumann格林函数。

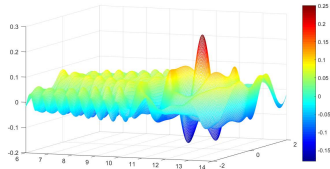
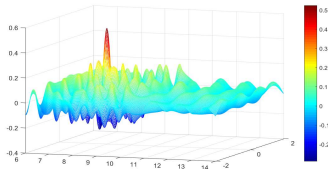


Figure: $-\text{Im } J_d(z, y)$, 其中 $G_{bp}(x, z) = G(x, z)$, 左边为源点 $y_1 \in L_1$, 右边为源点 $y_2 \in L_2$ 。参数: $k_1 = 4\pi$, $k_2 = 2\pi$, $h = 10$, $d = 50$, $N_r = 256$, $y_1 = (0, 8)$, $y_2 = (0, 12)$ 。

点扩散函数讨论

函数 $G(x, z)$ 和 $N(x, y)$ 都会产生波导模式:

$$G(x, z) = G_g(x, z) + G_{rad}(x, z), \quad N(x, y) = N_g(x, y) + N_{rad}(x, y)$$

其中 $G_g(x, z) = \sum_{p=1}^M G_p(x, z)$ 和 $N_g(x, y) = \sum_{q=1}^{\hat{M}} N_q(x, y)$, 分别为 $G(x, z)$ 和 $N(x, y)$ 的波导项, $G_{rad}(x, z)$ 和 $N_{rad}(x, y)$ 分别为相应衰减项。则

$$J_d(z, y) = \mathbf{J}_d^1(z, y) + J_d^2(z, y) + J_d^3(z, y) + J_d^4(z, y)$$

其中 $J_d^i(z, y), i = 1, 2, 3, 4$ 为

$$\left\{ \begin{array}{lcl} \mathbf{J}_d^1(z, y) & = & \int_{\Gamma_0^d} \frac{\partial G_g(x_r, z)}{\partial x_2(x_r)} \overline{N_g(x_r, y)} ds(x_r) \\ J_d^2(z, y) & = & \int_{\Gamma_0^d} \frac{\partial G_{rad}(x_r, z)}{\partial x_2(x_r)} \overline{N_{rad}(x_r, y)} ds(x_r) \\ J_d^3(z, y) & = & \int_{\Gamma_0^d} \frac{\partial G_g(x_r, z)}{\partial x_2(x_r)} \overline{N_{rad}(x_r, y)} ds(x_r) \\ J_d^4(z, y) & = & \int_{\Gamma_0^d} \frac{\partial G_{rad}(x_r, z)}{\partial x_2(x_r)} \overline{N_g(x_r, y)} ds(x_r) \end{array} \right.$$

点扩散函数进一步测试

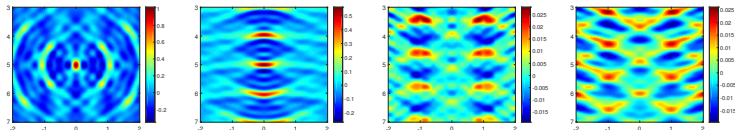


Figure: 点扩散函数测试: $-\text{Im } f(z, y)$, 其中源点 $y_1 = (0, 5)$ 在开波导第一层 L_1 内, 从左到右函数 $f(z, y)$ 依次为波导项反传波导项 $J_d^1(z, y)$, 衰减项反传衰减项 $J_d^2(z, y)$, 以及交叉反传项 $J_d^3(z, y)$ 和 $J_d^4(z, y)$ 。其中采样区域为 $\Omega_1 = [-2, 2] \times [3, 7]$, 以及 $k_2 = \frac{1}{2}k_1, k_1 = [2\pi, 4\pi, 6\pi]$ 。

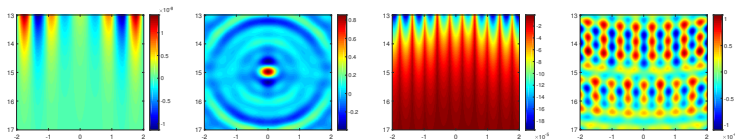


Figure: 点扩散函数测试: $-\text{Im } f(z, y)$, 其中源点 $y_2 = (0, 15)$ 在开波导第二层 L_2 内, 从左到右函数 $f(z, y)$ 依次为波导项反传波导项 $J_d^1(z, y)$, 衰减项反传衰减项 $J_d^2(z, y)$, 以及交叉反传项 $J_d^3(z, y)$ 和 $J_d^4(z, y)$ 。其中采样区域为 $\Omega_1 = [-2, 2] \times [13, 17]$, 以及 $k_2 = \frac{1}{2}k_1, k_1 = [4\pi, 6\pi, 8\pi]$ 。

收敛性问题

$$J_d^1(z, y) = \sum_{p=1}^M \sum_{q=1}^{\hat{M}} f_{pq}(z_2, y_2) I_d^{pq}(z_1, y_1)$$

其中 $f_{pq}(z_2, y_2), p = 1, 2, \dots, M; q = 1, 2, \dots, \hat{M}$ 是关于 z_2 和 y_2 的函数, 以及

$$I_d^{pq}(z_1, y_1) = \int_{-d}^d e^{i|x_1 - z_1|\xi_p - i|x_1 - y_1|\hat{\xi}_q} dx_1$$

注

直接计算可得 $I_d^{pq}(z_1, y_1)$ 的具体表达式: 当 $z_1, y_1 \in (-d, d)$ 时,

$$I_d^{pq}(z_1, y_1) = \psi_1^{pq}(d, z_1, y_1) + \psi_2^{pq}(z_1, y_1)$$

其中

$$\begin{cases} \psi_1^{pq}(d, z_1, y_1) &= \frac{e^{id(\xi_p - \hat{\xi}_q)}}{i(\xi_p - \hat{\xi}_q)} \left(e^{iz_1\xi_p - iy_1\hat{\xi}_q} + e^{iy_1\hat{\xi}_q - iz_1\xi_p} \right) \\ \psi_2^{pq}(z_1, y_1) &= \frac{e^{i|z_1 - y_1|\xi_p} - e^{-i|z_1 - y_1|\hat{\xi}_q}}{i(\xi_p + \hat{\xi}_q)} - \frac{e^{i|z_1 - y_1|\xi_p} + e^{-i|z_1 - y_1|\hat{\xi}_q}}{i(\xi_p - \hat{\xi}_q)} \end{cases}$$

解决方案一：取 $G_{bp}(x, y) = G_h(x, y)$

全空间两层基本解 $G_h(x, y)$

如果仅考虑Pekeris半空间两层开波导障碍物成像问题，可以考虑采用全空间两层基本解 $G_h(x, y)$ 作为一种备选的反传播函数。 $G_h(x, y)$ 满足如下方程：

$$\begin{cases} \Delta_x G_h(x, y) + \hat{k}^2(x) G_h(x, y) = -\delta_y(x), & in \quad \mathbb{R}^2 \\ [G_h(\cdot, y)]_{\Gamma_h} = \left[\frac{\partial G_h(\cdot, y)}{\partial \nu} \right]_{\Gamma_h} = 0. \end{cases}$$

其中波数 $\hat{k}(x)$ 满足

$$\hat{k}(x) = \begin{cases} k_1 & , \quad x_2 < h \\ k_2 & , \quad x_2 > h \end{cases}$$

特点

- 好处：不会产生波导模式，且表达式相对简单，数值和理论分析较为容易
- 坏处：不符合逆时偏移的思想，不能推广到半空间任意层模型，仅对两层内的障碍物有效

函数 $G_h(x, z)$ 的积分表达式

直接计算可知，函数 $G_h(x, y)$ 表达式如下

$$G_h(x, y) = \begin{cases} \Phi(k_1, x, y) - \Phi(k_1, x, y^*) + P_{11}(x, y), & y_2 < h, x_2 < h \\ P_{12}(x, y), & y_2 < h, x_2 > h \\ P_{21}(x, y), & y_2 > h, x_2 < h \\ \Phi(k_2, x, y) - \Phi(k_2, x, y^*) + P_{22}(x, y), & y_2 > h, y_2 > h \end{cases}$$

其中 $y^* = (y_1, 2h - y_2)$, $\mu_j = \sqrt{k_j^2 - \xi^2}$, $j = 1, 2$, 以及函数 $P_{ij}(x, y)$ 的表达式为

$$\begin{cases} P_{11}(x, y) &= \frac{i}{2\pi} \int_{SIP} \frac{1}{\mu_1 + \mu_2} e^{i\mu_1(2h - x_2 - y_2) + i\xi(x_1 - y_1)} d\xi \\ P_{12}(x, y) &= \frac{i}{2\pi} \int_{SIP} \frac{1}{\mu_1 + \mu_2} e^{i\mu_1(h - y_2) + i\mu_2(x_2 - h) + i\xi(x_1 - y_1)} d\xi \\ P_{21}(x, y) &= \frac{i}{2\pi} \int_{SIP} \frac{1}{\mu_1 + \mu_2} e^{i\mu_2(y_2 - h) + i\mu_1(h - x_2) + i\xi(x_1 - y_1)} d\xi \\ P_{22}(z, y) &= \frac{i}{2\pi} \int_{SIP} \frac{1}{\mu_1 + \mu_2} e^{i\mu_2(x_2 + y_2 - 2h) + i\xi(x_1 - y_1)} d\xi \end{cases}$$

解决方案二：取 $G_{bp}(x, y) = G_\lambda(x, y)$

半空间两层介质Impedance格林函数 $G_\lambda(x, y)$

设常数 λ 为阻抗系数，函数 $G_\lambda(x, y)$ 满足如下方程：

$$\begin{cases} \Delta_x G_\lambda(x, y) + k^2(x) G_\lambda(x, y) = -\delta_y(x), & \text{in } \mathbb{R}_+^2 \\ [G_\lambda(\cdot, y)]_{\Gamma_h} = 0, \quad \left[\frac{\partial G_\lambda(\cdot, y)}{\partial \nu} \right]_{\Gamma_h} = 0 \\ \frac{\partial G_\lambda(x, y)}{\partial x_2} + i\lambda G_\lambda(x, y) = 0, & \text{on } \Gamma_0 \end{cases}$$

其中

$$k(x) = \begin{cases} k_1 & , \quad x_2 \in (0, h) \\ k_2 & , \quad x_2 \in (h, +\infty) \end{cases}$$

特点

- 好处：多了一个可调参数 λ ，当 λ 取值适当时不会产生波导模式；可以推广到半空间任意层开波导障碍物成像问题；符合逆时偏移算法的基本思想
- 坏处：表达式较为复杂，数值和理论分析较为困难

函数 $G_\lambda(x, y)$ 的积分表达式

设 $\lambda > 0$ ，则半空间两层介质Impedance格林函数 $G_\lambda(x, y)$ 表达式为

$$G_\lambda(x, y) = \frac{1}{2\pi} \int_{SIP} \hat{G}_\lambda^y(\xi, x_2) e^{i|x_1 - y_1|\xi} d\xi$$

其中 $\hat{G}_\lambda^y(\xi, x_2)$ 表示函数 $G_\lambda^y(x_1, x_2) := G_\lambda(x, y)$ 关于 x 的第一个分量 x_1 的Fourier变换:

$$\hat{G}_\lambda^y(\xi, x_2) = \int_{-\infty}^{\infty} G_\lambda^y(x_1, x_2) e^{-i(x_1 - y_1)\xi} dx_1$$

$$\left\{ \begin{array}{ll} \frac{\partial^2 \hat{G}_\lambda^y(\xi, x_2)}{\partial x_2^2} + [k^2(x) - \xi^2] \hat{G}_\lambda^y(\xi, x_2) = -\delta_{y_2}(x_2), & in \quad \mathbb{R}_+ \\ \left[\hat{G}_\lambda^y(\xi, x_2) \right]_{x_2=h} = \left[\frac{\partial \hat{G}_\lambda^y(\xi, x_2)}{\partial x_2} \right]_{x_2=h} = 0, \\ \frac{\partial \hat{G}_\lambda^y(\xi, x_2)}{\partial x_2} + i\lambda \hat{G}_\lambda^y(\xi, x_2) = 0, & on \quad x_2 = 0 \end{array} \right.$$

函数 $G_\lambda(x, y)$ 的Fourier变换 $\hat{G}_\lambda^y(\xi, x_2)$

记关于 ξ 的函数 $N_\lambda(\xi)$, $M_\lambda(\xi)$ 为:

$$N_\lambda(\xi) = \frac{\mu_1 + \mu_2}{\mu_1 - \mu_2} \frac{\mu_1 + \lambda}{\mu_1 - \lambda} - e^{2i\mu_1 h}, \quad M_\lambda(\xi) = \frac{\lambda + \mu_1}{\lambda - \mu_1} + \frac{\mu_1 + \mu_2}{\mu_1 - \mu_2} e^{2i\mu_1 h}$$

(1) 当源点 $y \in L_1$ 时, 若 $x_2 \in (0, h)$,

$$\hat{G}_\lambda^y(\xi, x_2) = \begin{cases} \frac{i}{2\mu_1} e^{i\mu_1 |x_2 - y_2|} & + \frac{i}{2\mu_1} \frac{\mu_1 - \lambda}{\mu_1 + \lambda} e^{i\mu_1 (x_2 + y_2)} \\ + \frac{i}{2\mu_1} \frac{e^{2i\mu_1 h}}{N_\lambda(\xi)} \frac{\mu_1 - \lambda}{\mu_1 + \lambda} e^{i\mu_1 (x_2 + y_2)} & + \frac{i}{2\mu_1} \frac{e^{2i\mu_1 h}}{N_\lambda(\xi)} e^{i\mu_1 (x_2 - y_2)} \\ + \frac{i}{2\mu_1} \frac{e^{2i\mu_1 h}}{N_\lambda(\xi)} \frac{\mu_1 + \lambda}{\mu_1 - \lambda} e^{i\mu_1 (-x_2 - y_2)} & + \frac{i}{2\mu_1} \frac{e^{2i\mu_1 h}}{N_\lambda(\xi)} e^{i\mu_1 (-x_2 + y_2)} \end{cases}$$

(2) 当源点 $y \in L_1$ 时, 若 $x_2 \in (h, +\infty)$,

$$\hat{G}_\lambda^y(\xi, x_2) = \frac{i}{\mu_1 - \mu_2} \frac{1}{N_\lambda(\xi)} \left[\frac{\mu_1 + \lambda}{\mu_1 - \lambda} e^{i\mu_1 (h - y_2) + i\mu_2 (x_2 - h)} + e^{i\mu_1 (h + y_2) + i\mu_2 (x_2 - h)} \right]$$

(3) 当源点 $y \in L_2$ 时, 若 $x_2 \in (0, h)$,

$$\hat{G}_\lambda^y(\xi, x_2) = \frac{i}{\mu_1 - \mu_2} \frac{1}{N_\lambda(\xi)} \left[e^{i\mu_2 (y_2 - h) + i\mu_1 (x_2 + h)} + \frac{\mu_1 + \lambda}{\mu_1 - \lambda} e^{i\mu_2 (y_2 - h) + i\mu_1 (h - x_2)} \right]$$

(4) 当源点 $y \in L_2$ 时, 若 $x_2 \in (h, +\infty)$,

$$\hat{G}_\lambda^y(\xi, x_2) = \frac{i}{2\mu_2} e^{i\mu_2 |x_2 - y_2|} + \frac{i}{2\mu_2} \frac{M_\lambda(\xi)}{N_\lambda(\xi)} e^{i\mu_2 (x_2 + y_2 - 2h)}$$

回顾：开波导Dirichlet格林函数 $G(x, y)$ 的积分表达式

令 $\xi = \xi_1 + i\xi_2$, $\xi_1, \xi_2 \in \mathbb{R}$, 以及 $\mu_j = \sqrt{k_j^2 - \xi^2}$, $j = 1, 2$, 并记关于 ξ 的函数 $N_h(\xi)$ 和 $M_h(\xi)$ 如下所示

$$N_h(\xi) = \frac{\mu_1 + \mu_2}{\mu_1 - \mu_2} + e^{2i\mu_1 h}, \quad M_h(\xi) = 1 + \frac{\mu_1 + \mu_2}{\mu_1 - \mu_2} e^{2i\mu_1 h},$$

则格林函数 $G(x, y)$ 有如下表达式

$$G(x, y) = \begin{cases} \Phi_{k_1}(x, y) - \Phi_{k_1}(x, y') + S_1(x, y) & , \quad x \in L_1, y \in L_1 \\ S_2(x, y) & , \quad x \in L_2, y \in L_1 \\ K_1(x, y) & , \quad x \in L_1, y \in L_2 \\ \Phi_{k_2}(x, y) + K_2(x, y) & , \quad x \in L_2, y \in L_2 \end{cases}$$

其中 $S_j(x, y)$, $K_j(x, y)$, $j = 1, 2$ 的表达式为

$$\left\{ \begin{array}{lcl} S_1(x, y) & = & \frac{1}{2\pi} \int_{SIP} \frac{-i}{2\mu_1} \frac{e^{2i\mu_1 h} [4 \sin(\mu_1 x_2) \sin(\mu_1 y_2)]}{N_h(\xi)} e^{i(x_1 - y_1)\xi} d\xi \\ S_2(x, y) & = & \frac{1}{2\pi} \int_{SIP} \frac{2e^{i\mu_1 h} \sin(\mu_1 y_2)}{(\mu_1 - \mu_2) N_h(\xi)} e^{i\mu_2(x_2 - h) + i(x_1 - y_1)\xi} d\xi \\ K_1(x, y) & = & \frac{1}{2\pi} \int_{SIP} \frac{2e^{i\mu_1 h} \sin(\mu_1 x_2)}{(\mu_1 - \mu_2) N_h(\xi)} e^{i\mu_2(y_2 - h) + i(x_1 - y_1)\xi} d\xi \\ K_2(x, y) & = & \frac{1}{2\pi} \int_{SIP} \frac{-i}{2\mu_2} \frac{M_h(\xi)}{N_h(\xi)} e^{i\mu_2(x_2 + y_2 - 2h) + i(x_1 - y_1)\xi} d\xi \end{array} \right.$$

比较

反传播函数

$$\left\{ \begin{array}{ll} \text{开波导Dirichlet格林函数 } G(x, y) & : N_h(\xi) = \frac{\mu_1 + \mu_2}{\mu_1 - \mu_2} + e^{2i\mu_1 h} \\ \text{半空间两层阻抗格林函数 } G_\lambda(x, y) & : N_\lambda(\xi) = \frac{\mu_1 + \mu_2}{\mu_1 - \mu_2} \frac{\mu_1 + \lambda}{\mu_1 - \lambda} - e^{2i\mu_1 h} \\ \text{全空间两层基本解 } G_h(x, y) & : \mu_1 + \mu_2 \end{array} \right.$$

有限孔穴点扩散函数

$$\begin{array}{ll} \textcircled{1} J_d(z, y) := \int_{\Gamma_0^d} \frac{\partial G(x_r, z)}{\partial x_2(x_r)} \overline{N(x_r, y)} ds(x_r) & \checkmark \\ \textcircled{2} J_d(z, y) := \int_{\Gamma_0^d} \frac{\partial G_\lambda(x_r, z)}{\partial x_2(x_r)} \overline{N(x_r, y)} ds(x_r) & ? \\ \textcircled{3} J_d(z, y) := \int_{\Gamma_0^d} \frac{\partial G_h(x_r, z)}{\partial x_2(x_r)} \overline{N(x_r, y)} ds(x_r) & ? \end{array}$$

其中函数 $N(x, y)$ 为Pekeris开波导Neumann格林函数。

点扩散函数测试

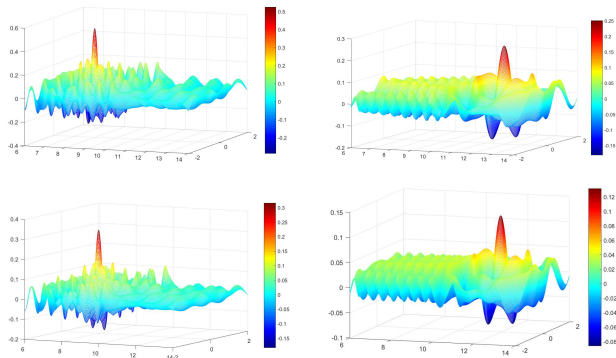


Figure: 有限孔穴点扩散函数的负虚部: $-\text{Im } J_d(z, y)$, 其中左边为源点 $y_1 = (0, 8)$ 在 L_1 中, 右边为源点 $y_2 = (0, 12)$ 在 L_2 中, 采样区域 Ω 为 $[-2, 2] \times [6, 14]$ 。第一行为阻抗边界格林函数, 第二行为全空间两层基本解

阻抗型开波导逆时偏移算法

算法

设 Ω 为采样区域, 令 $u^s(x_r, x_s)$ 为在接收点 x_r 收到的由源点 x_s 所激发的散射数据, 其中 $x_r, x_s \in \Gamma_0^d; r = 1, \dots, N_r; s = 1, \dots, N_s$.

① 反传播: 对 $s = 1, \dots, N_s$, 计算反传播场

$$v_b(z, x_s) = \frac{|\Gamma_0^d|}{N_r} \sum_{r=1}^{N_r} \frac{\partial G_\lambda(x_r, z)}{\partial x_2(x_r)} \overline{u^s(x_r, x_s)}, \quad \forall z \in \Omega.$$

若令 $N_r \rightarrow 0$, 则上式可看做如下积分的数值近似,

$$\hat{v}_b(z, x_s) = \int_{\Gamma_0^d} \frac{\partial G_\lambda(x_r, z)}{\partial x_2(x_r)} \overline{u^s(x_r, x_s)} ds(x_r)$$

② 互相关: 对 $z \in \Omega$, 计算成像函数

$$I_d^\lambda(z) = \text{Im} \left\{ \frac{|\Gamma_0^d|}{N_s} \sum_{s=1}^{N_s} \frac{\partial G_\lambda(x_s, z)}{\partial x_2(x_s)} v_b(z, x_s) \right\}.$$

将 $v_b(z, x_s)$ 的表达式代入 $I_d^\lambda(z)$, 可得

$$I_d^\lambda(z) = \text{Im} \left\{ \frac{|\Gamma_0^d|}{N_s} \frac{|\Gamma_0^d|}{N_r} \sum_{s=1}^{N_s} \sum_{r=1}^{N_r} \frac{\partial G_\lambda(x_s, z)}{\partial x_2(x_s)} \frac{\partial G_\lambda(x_r, z)}{\partial x_2(x_r)} \overline{u^s(x_r, x_s)} \right\}.$$

障碍物成像比较: $D \subset L_1$, 可穿透障碍物

令 $h = 10, d = 50$, 源点 x_s 和接收点 x_r 在 Γ_0^d 上均匀分布, 其个数为 $N_s = N_r = 256$, 探测频率 $k_1 = 4\pi, k_2 = 2\pi$ 。除此之外, 我们将比较成像函数 $I_d^\lambda(z)$ 和使用全空间两层基本解 $G_h(x, z)$ 做为反传播函数的 $I_d^h(z)$, 即

$$I_d^h(z) = \text{Im} \left\{ \frac{|\Gamma_0^d|}{N_s} \frac{|\Gamma_0^d|}{N_r} \sum_{s=1}^{N_s} \sum_{r=1}^{N_r} \frac{\partial G_h(x_s, z)}{\partial x_2(x_s)} \frac{\partial G_h(x_r, z)}{\partial x_2(x_r)} \overline{u^s(x_r, x_s)} \right\}.$$

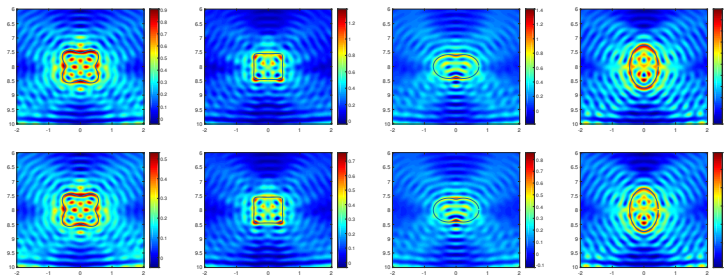


Figure: 测试不同形状的可穿透障碍物($D \subset L_1$): 从左到右依次为4-叶风扇、矩形、花生以及椭圆形状, 其中第一、二行分别是成像函数 $I_d^\lambda(z)$ 和 $I_d^h(z)$ 的成像效果。

障碍物成像测试: $D \subset L_2$, 可穿透障碍物

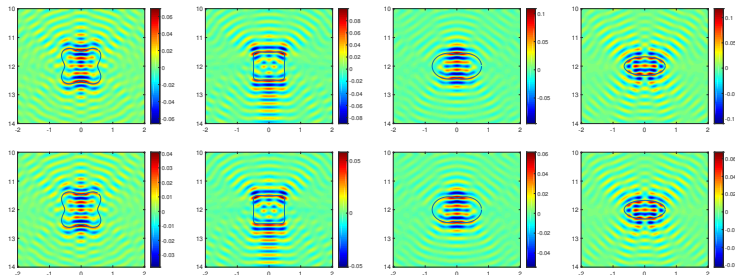


Figure: 测试不同形状的可穿透障碍物($D \subset L_2$): 从左到右依次为4-叶风扇、矩形、花生以及椭圆形状, 其中第一、二行分别是成像函数 $I_d^\lambda(z)$ 和 $I_d^h(z)$ 的成像效果。

目录

- ① 研究动机
- ② 半空间无相位数据障碍物成像问题
- ③ Pekeris开波导障碍物成像问题
- ④ 总结与展望

总结与展望

总结:

- ① 针对一般半空间障碍物成像问题, 提出一种无相位直接成像算法
- ② 针对Pekeris开波导障碍物成像问题, 提出开波导逆时偏移算法
- ③ 对开波导逆时偏移算法加以改进, 提出阻抗型开波导逆时偏移算法

展望:

- ① 考虑开波导逆时偏移算法中的收敛性问题及其分辨率分析
- ② 分析半空间两层介质阻抗格林函数以及相应算法的分辨率分析
- ③ 将本文算法推广到电磁波和弹性波开波导模型或者半空间 n 层模型
- ④ 开波导散射问题的PML算法

谢谢大家！

个人简历

基本情况

方少峰，男，河北邯郸人，1993年9月出生，中科院数学与系统科学研究院，在读博士研究生

教育状况

- ① 2009年9月至2013年7月，吉林大学数学学院，本科，计算数学
- ② 2013年9月至2018年7月，中科院计算数学所，直博生，计算数学

研究兴趣

逆散射问题，逆时偏移算法，开波导模型

发表文章目录

- ① Chen Z, Fang S, Huang G. *A Direct Imaging Method for the Half-Space Inverse Scattering Problem with Phaseless Data[J]. Inverse Problems & Imaging*, 2017, 11(5).

联系方式

通讯地址：北京市海淀区中关村东路55号，中科院数学与系统科学研究院，100190
邮箱：fangsf@lsec.cc.ac.cn 电话：15600602175/15910819374